

**Tabela 8 – Verificação da segurança aos ELU Flexão – Cálculo de Armaduras**

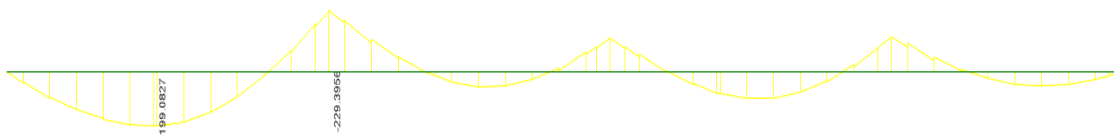
Secção	$M_{sd}$ [kNm/m]	Momento fletor reduzido $\mu$	Armadura adoptada	$A_s$ [cm <sup>2</sup> /m]	$M_{rd}$ [kNm/m]	$M_{sd}/M_{rd}$	$A_{s,min}$ [cm <sup>2</sup> /m]
Apoio de continuidade	342	0.188	4Ø20+2Ø16	16.59	357	96%	2.49
Meio vão	298	0.164	4Ø20+2Ø16	16.59	357	83%	2.49

**Tabela 9 – Verificação da segurança aos ELU Corte – Cálculo de Armaduras**

Secção	$V_{sd}$ [kN]	Armadura adoptada	$A_{sw,s}$ [cm <sup>2</sup> /m]	$\theta$	$V_{rd}$ [kN]	$V_{sd}/V_{rd}$
Apoio de continuidade	345	Ø10//0.15	10.47	35	358	96%

### 8.2.1.5 Estados Limites Utilização – Vigas

Relativamente à verificação da fendilhação, apresentam-se na figura seguinte momentos obtidos para a Combinação Quase Permanentes (CQP).



**Figura 18 – Momento  $M_y$  [kNm] – QP – Viga mais condicionante 0.30x0.60 m do Cais**

A verificação da abertura de fendas seguindo a NP EN 1992 é apresentada no quadro seguinte.

**Tabela 10 – Verificação de abertura de fendas das Vigas**

Secção	Controlo da fendilhação da viga					
	$M_{CQP}$ [kNm/m]	$M_{Cr}$ [kNm/m]	$\sigma_{sd}$ [MPa]	$S_{r,max}$ [mm]	$\varepsilon_{SM} - \varepsilon_{CM}$	$w_k$ [mm]
Apoio de continuidade	230	52.20	282	0.101	0.00199	0.200

Tratando-se de uma pequena zona de lajes vigadas, as conclusões relativamente a deformadas são semelhantes às expostas anteriormente nas lajes desta zona. Na qual, todos os limites são regulamentares exigidos.

## 8.2.2 Átrio

### 8.2.2.1 Geometria

O Piso do Átrio é constituído por extensas lajes vigadas com 0.25 m de espessura, ligadas ao revestimento definitivo das galerias em túnel, e por vigas de 0.60 m de largura, com uma altura de 1.20 m. O afastamento entre vigas é de 5.25 m. Na Figura 19 apresenta-se a planta do Piso do Átrio.

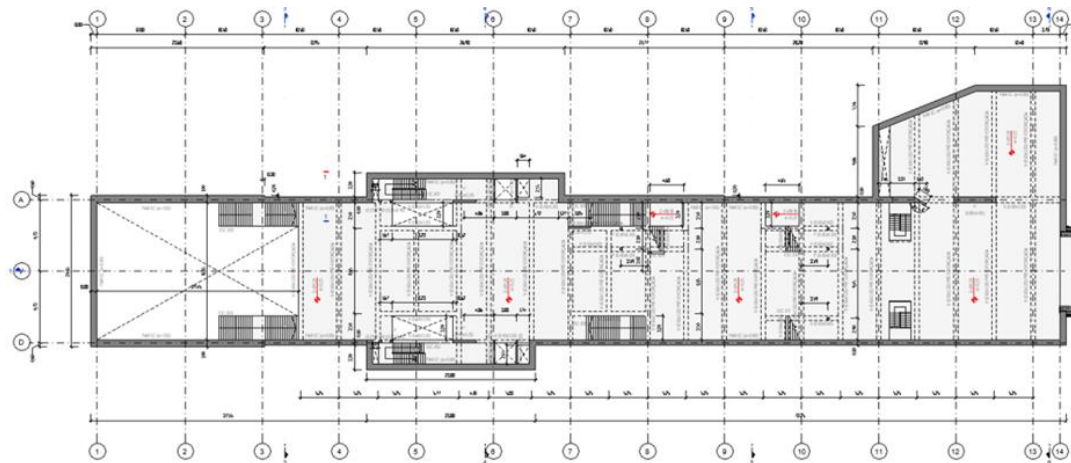


Figura 19 – Planta da laje do átrio

### 8.2.2.2 Estados Limites Últimos – Lajes

Os valores dos esforços dos elementos shell para os estados limites últimos (ELU) são os apresentados nas figuras seguintes. Os esforços de compressão e tração no plano da laje são desprezáveis pelo que não são apresentados.

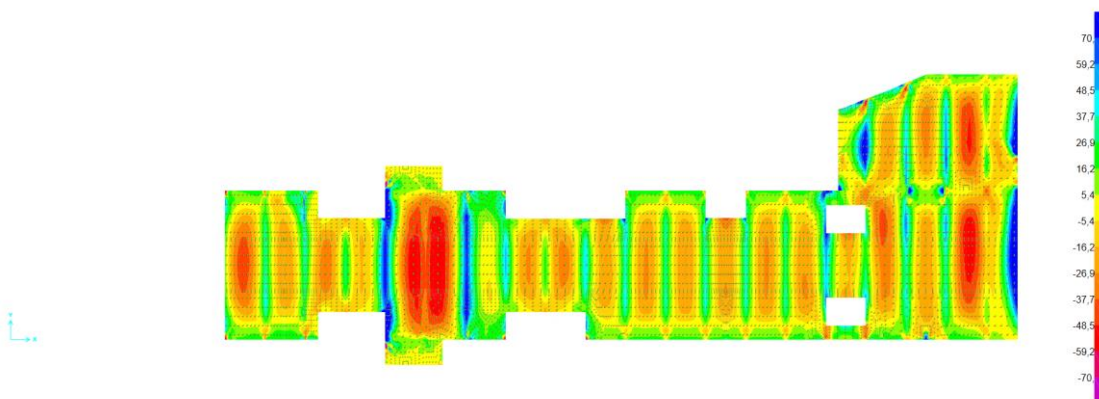
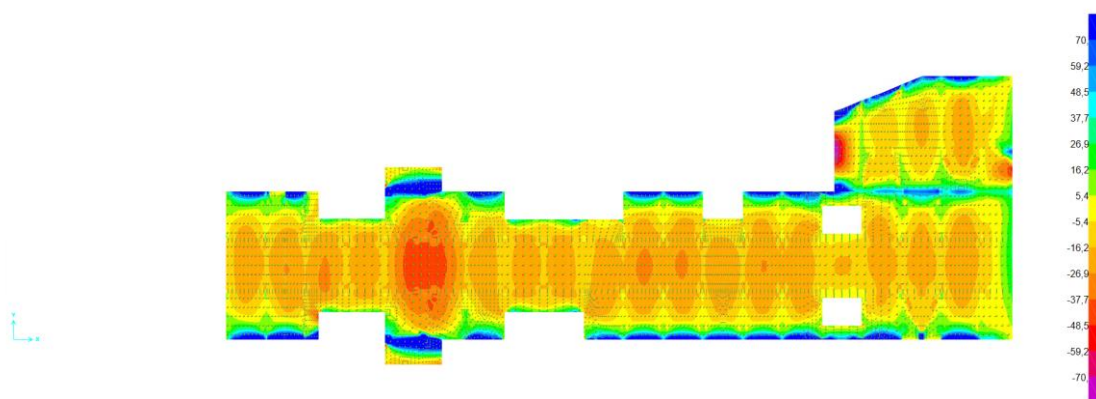
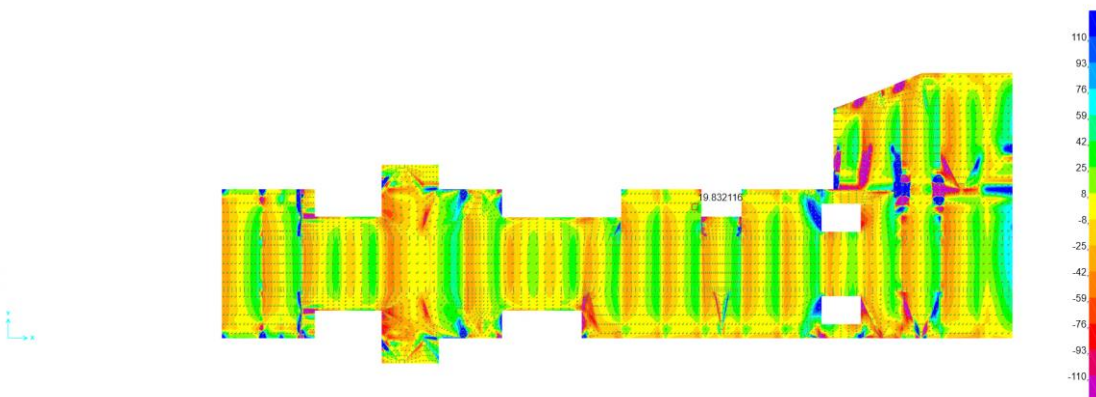


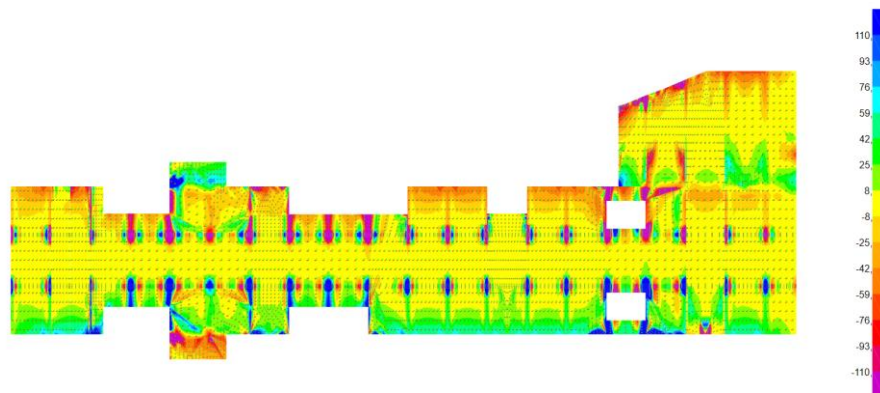
Figura 20 – Momento M11 [kNm/m] (Armadura na direção x-x) – ULS – Laje do átrio



**Figura 21 – Momento M22 [kNm/m] (Armadura na direção y-y) – ULS – Laje do átrio**



**Figura 22 – Esforço Transverso x-x – ULS – [kN/m] – Laje do átrio**



**Figura 23 – Esforço Transverso y-y – ULS – [kN/m] – Laje do átrio**

Na tabela seguinte apresenta-se a verificação aos estados limites últimos à flexão e aos estados limites de esforço transverso para estes elementos.

**Tabela 11 – Verificação da segurança aos ELU Flexão Composta – Cálculo de Armaduras**

MOMENTO FLETOR												Verif.		
ESFORÇOS ATUANTES			ESFORÇOS RESISTENTES									Verif.		
M <sub>sd</sub> kNm/m	μ	ω	A <sub>s, requerida</sub> cm <sup>2</sup> /m	Armadura adotada			A <sub>s</sub> cm <sup>2</sup> /m	ρ <sub>i</sub>	d m	ω	μ	k	M <sub>rd</sub> kNm/m	
30	0.036	0.036	3.43	Sup./Inf. Ø 10	// Ø 0.20	+ Ø 0.13	3.93	0.002	0.20	0.042	0.041	0.052	34	✓
65	0.077	0.081	7.60	Sup./Inf. Ø 10	// Ø 0.20	+ Ø 10	7.85	0.003	0.20	0.083	0.080	0.104	67	✓
110	0.131	0.141	13.28	Sup./Inf. Ø 10	// Ø 0.20	+ Ø 16	13.98	0.006	0.20	0.148	0.137	0.185	115	✓

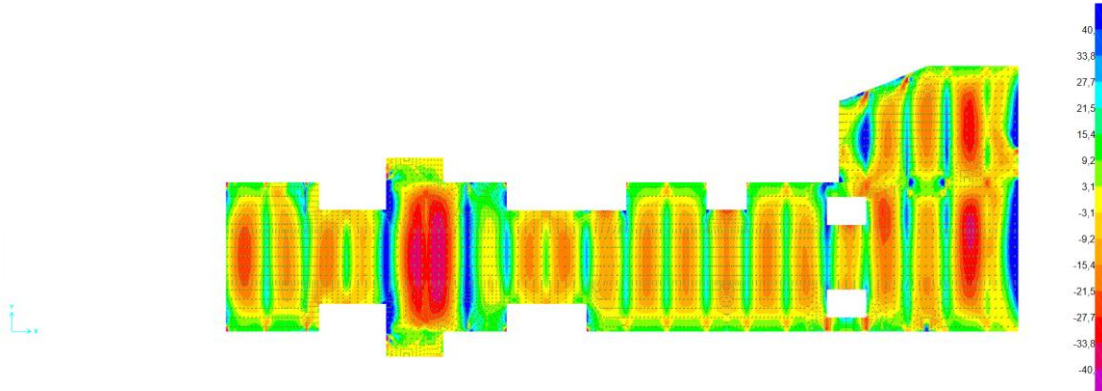
**Tabela 12 – Verificação da segurança aos ELU Corte – Resistente sem armadura de esforço transverso**

ESFORÇO TRANSVERSO										Verif.
V <sub>sd</sub> kN/m	C <sub>Rd,c</sub>	k	A <sub>s,x</sub> cm <sup>2</sup>	A <sub>s,y</sub> cm <sup>2</sup>	ρ <sub>i</sub>	V <sub>rd,c</sub> kN/m	Laje Aligeirada?	V <sub>rd</sub> kN/m	Verif.	
110.0	0.12	1.99	3.93	3.93	0.002	110.1	Não	110.1		✓
110.0	0.12	1.99	7.85	7.85	0.004	110.4	Não	110.4		✓
110.0	0.12	1.99	13.98	13.98	0.007	133.7	Não	133.7	✓	

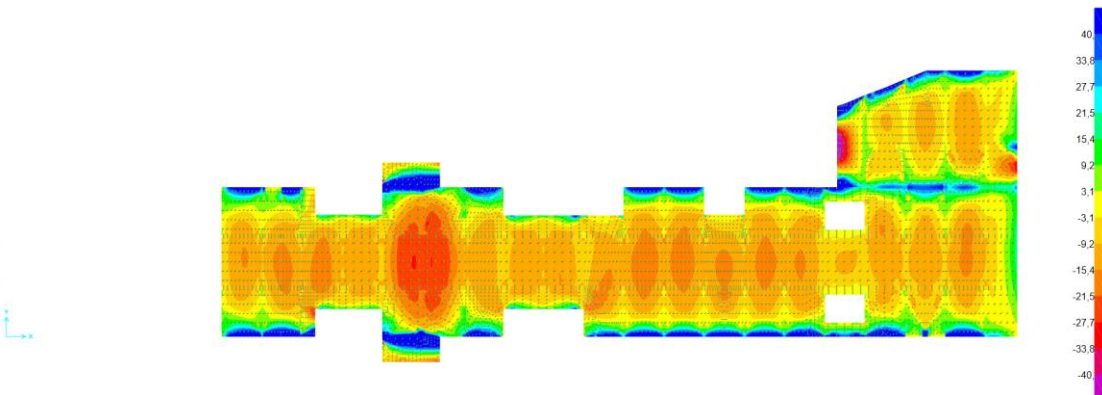
A laje apresenta um bom comportamento ao esforço transverso nas zonas de suporte contínuo, com valores de resforço resistente superiores aos atuantes.

### 8.2.2.3 Estados Limites de Utilização – Lajes

Reativamente à verificação da fendilhação, apresentam-se nas figuras seguintes momentos obidos para a Combinação Quase Permanente (CQP).



**Figura 24 – Momento M11 [kNm/m] (Armadura na direção x-x) – QP – Laje do átrio**



**Figura 25 – Momento M22 [kNm/m] (Armadura na direção y-y) – QP – Laje do átrio**

A verificação da abertura de fendas segundo a NP EN 1992 para os casos mais condicionais é apresentada no quadro seguinte.

**Tabela 13 – Verificação da fissuração**

M <sub>qp</sub> [kNm]	b [m]	h [m]	Φeq.	A <sub>s,trac</sub> [cm <sup>2</sup> ]	σ <sub>sd</sub> [MPa]	S <sub>r,max</sub> [mm]	ε <sub>sm</sub> -ε <sub>cm</sub> [-]	w <sub>k</sub> [mm]
55	1	0.25	12	13.98	208.04	0.256	0.00071	0.182

Apresenta-se na figura sente a deformada vertical da laje prevista a longo prazo para a Combinação Quase Permanente de ações (CQP).

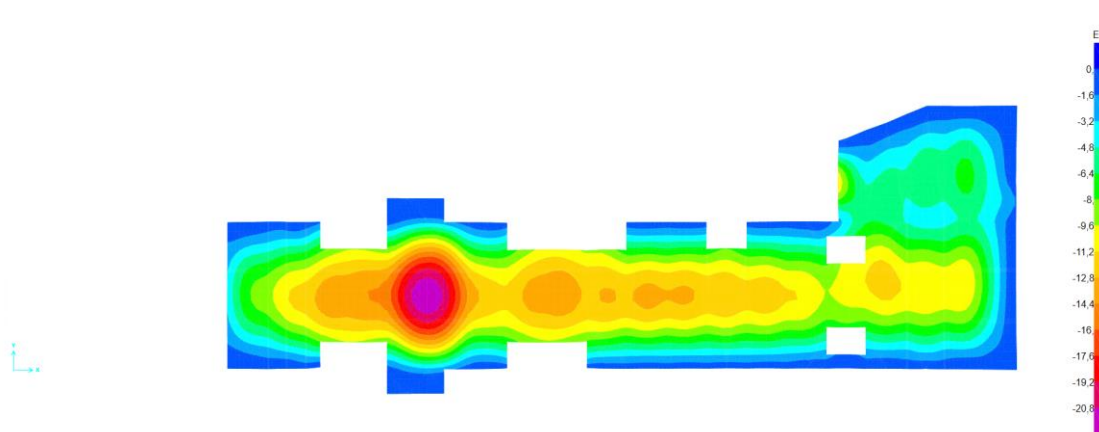
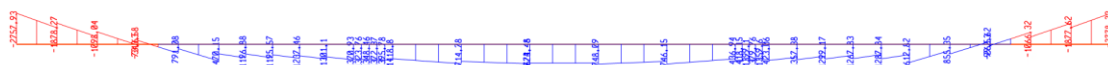


Figura 26 – Deformada em regime elástico

A longo prazo, estima-se que a deformada na zona mais condicionante do átrio atinja valores máximos na ordem dos 80 mm sendo estes inferiores ao limite regulamentar de L/250 (104mm).

### 8.2.2.4 Estados Limites Últimos – Vigas

A determinação dos esforços nas vigas foi feita a partir do modelo de cálculo. Os valores dos esforços para a viga mais condicionante do piso do átrio, para os Estados Limites Últimos (ELU), são os apresentados nas figuras seguintes.





**Figura 28 – Esforço Transverso  $F_z$  [kN] – ELU – Viga mais condicionante 0.60x1.20 m do Átrio**

Na tabela seguinte apresenta-se a verificação aos Estados Limites Últimos à Flexão e aos Estados Limites Últimos de Esforço Transverso para estes elementos.

**Tabela 14 – Verificação da segurança aos ELU Flexão – Cálculo de Armaduras**

MOMENTO FLETOR													Verif.				
Caso	ESFORÇOS ATUANTES				ESFORÇOS RESISTENTES								Verif.				
	$M_{sd}$ kNm	$\mu$ -	$\omega$ -	$A_{s,requerida}$ $cm^2$	Armadura		$A_s$ $cm^2$	$\rho_l$ -	$d$ m	$\omega$ -	$\mu$ -	$k$ -	$M_{rd}$ kNm				
M-	2800	0.175	0.194	61.74	Sup.	8	ø 32	+	0 ø 12	64.34	0.009	1.13	0.202	0.181	0.252	2905	✓
M+	1750	0.109	0.116	37.00	Inf.	8	ø 25	+	0 ø 16	39.27	0.005	1.14	0.123	0.116	0.154	1851	✓

**Tabela 15 – Verificação da segurança aos ELU Corte – Cálculo de Armaduras**

ESFORÇO TRANSVERSO												
$V_{sd}$ kN	$\Theta$ °	$A_{sw,req}/s$ $cm^2/m$	$V_{rd,máx}$ kN	$\rho_{w,min}$ -	Armadura		$A_{sw}/s$ $cm^2/m$	nº estribos	$V_{rd}$ kN/m	Verif.		
1600.0	30	20.44	2851.9	0.0009	ø	10	//	0.15	5.24	4	1640	✓

## 8.2.2.5 Estados Limites Utilização – Vigas

Relativamente à verificação da fendilhação, apresentam-se na figura seguinte momentos obtidos para a Combinação Quase Permanentes (CQP).



**Figura 29 – Momento  $M_y$  [kNm] – QP – Viga mais condicionante 0.60x1.20 m do Átrio**

A verificação da abertura de fendas seguindo a NP EN 1992 é apresentada no quadro seguinte.

**Tabela 16 – Verificação da fissuração**

<b>M<sub>QP</sub></b> [kNm]	<b>b</b> [m]	<b>h</b> [m]	<b>Φ<sub>eq.</sub></b> [mm]	<b>A<sub>s,trac</sub></b> [cm <sup>2</sup> ]	<b>σ<sub>sd</sub></b> [MPa]	<b>S<sub>r,max</sub></b> [mm]	<b>ε<sub>sm-ecm</sub></b> [-]	<b>w<sub>k</sub></b> [mm]
1700	0.6	1.2	32	64.34	254.56	0.248	0.00114	0.282

Tal como referido no capítulo da laje, a deformada é analisada no seu conjunto laje/vigas e foi exposto nesse capítulo, na qual todos os limites regulamentares são verificados.

## 8.2.3 Mezanino

### 8.2.3.1 Geometria

O Piso do Mezanino é constituído por lajes vigadas com 0.25 m de espessura, ligadas às paredes de contenção periférica e com vigas de 0.60 m de largura e 1,20 m de altura. O afastamento entre vigas é de 5.25 m. Na Figura 30 apresenta-se a planta do Piso do Mezanino.

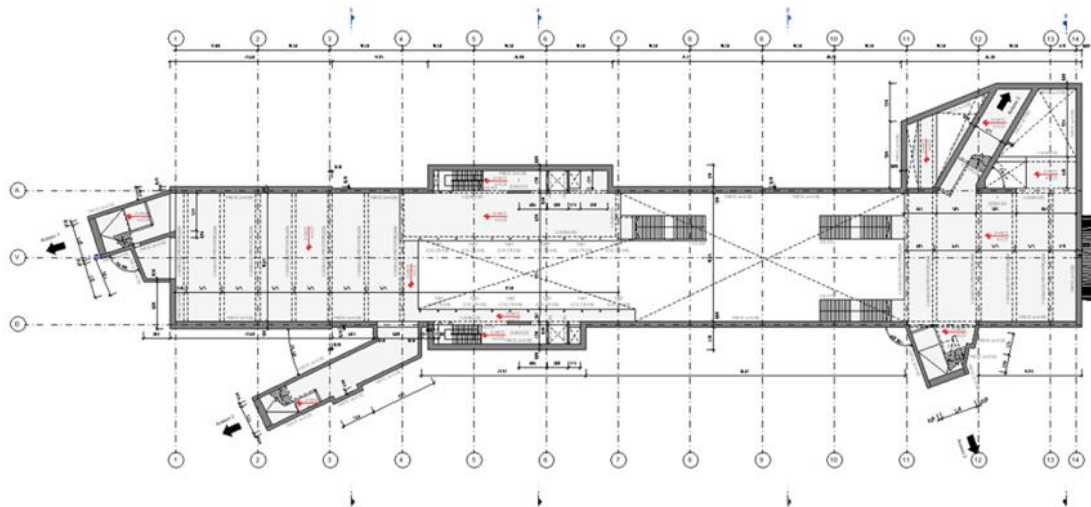


Figura 30 – Planta da laje do mezanino

### 8.2.3.2 Estados Limites Últimos – Lajes

Os valores dos esforços dos elementos shell para os estados limites últimos (ELU) são os apresentados nas figuras seguintes. Os esforços de compressão e tração no plano da laje são desprezáveis pelo que não são apresentados.

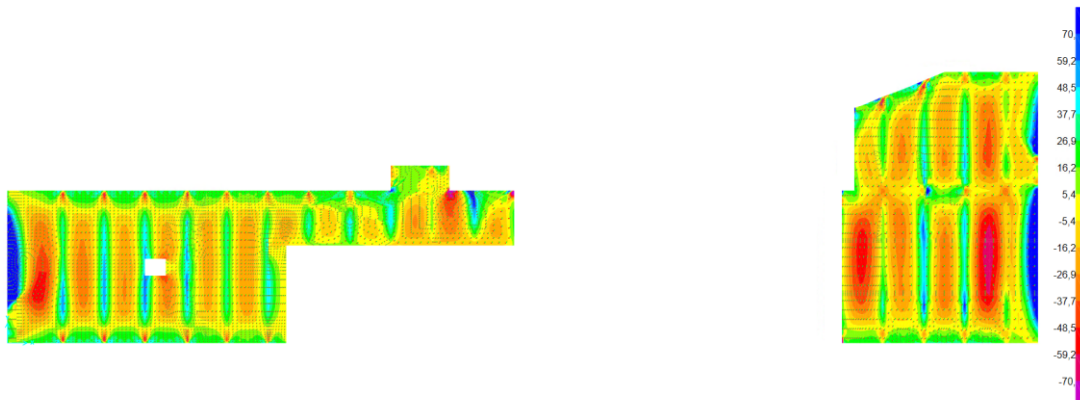
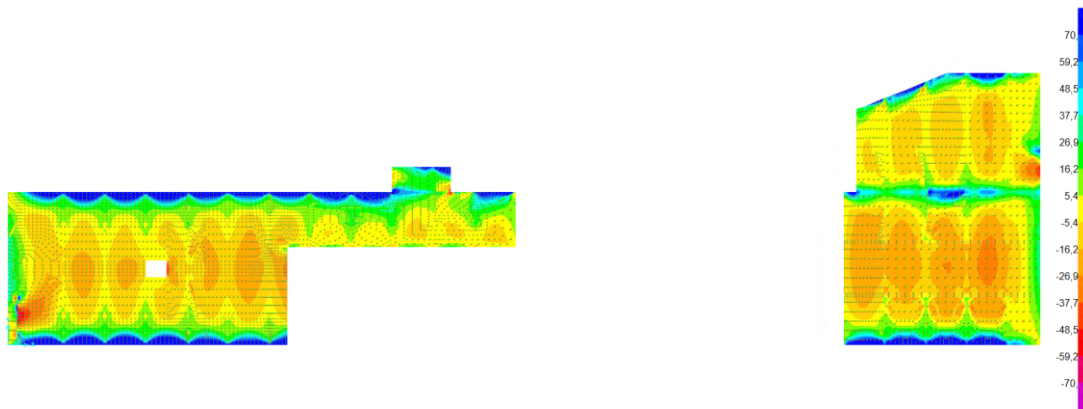
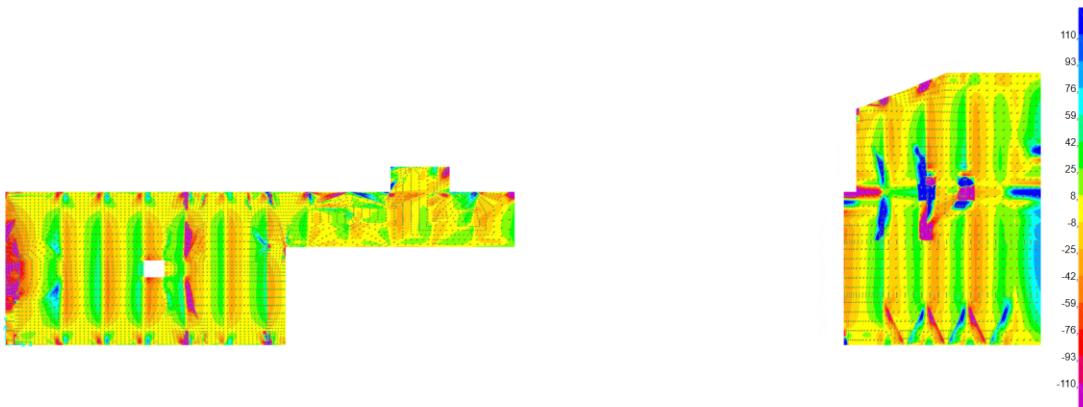


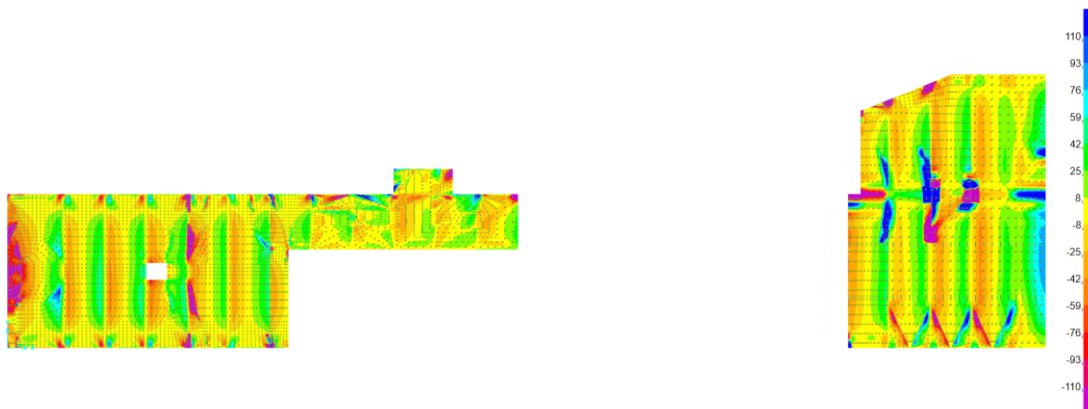
Figura 31 – Momento M11 [kNm/m] (Armadura na direção x-x) – ULS – Laje do mezanino



**Figura 32 – Momento M22 [kNm/m] (Armadura na direção y-y) – ULS – Mezanino**



**Figura 33 – Esforço Transverso x-x – ULS – [kN/m] – Laje do mezanino**



**Figura 34 – Esforço Transverso y-y – ULS – [kN/m] – Laje do mezanino**

Na tabela seguinte apresenta-se a verificação aos estados limites últimos à flexão e aos estados limites de esforço transverso para estes elementos.

**Tabela 17 – Verificação da segurança aos ELU Flexão Composta – Cálculo de Armaduras**

MOMENTO FLETOR													Verif.	
ESFORÇOS ATUANTES				ESFORÇOS RESISTENTES									Verif.	
M <sub>sd</sub> kNm/m	μ	ω	A <sub>s,requerida</sub> cm <sup>2</sup> /m	Armadura adotada			A <sub>s</sub> cm <sup>2</sup> /m	ρ <sub>I</sub>	d m	ω	μ	k	M <sub>rd</sub> kNm/m	
30	0.036	0.036	3.43	Sup./Inf. $\varnothing 10$	//	0.20	+ $\varnothing 10$	0.002	0.20	0.042	0.041	0.052	34	✓
65	0.077	0.081	7.60	Sup./Inf. $\varnothing 10$	//	0.20	+ $\varnothing 10$	0.003	0.20	0.083	0.080	0.104	67	✓
110	0.131	0.141	13.28	Sup./Inf. $\varnothing 10$	//	0.20	+ $\varnothing 16$	0.006	0.20	0.148	0.137	0.185	115	✓

**Tabela 18 – Verificação da segurança aos ELU Corte – Resistente sem armadura de esforço transverso**

ESFORÇO TRANSVERSO									
V <sub>sd</sub> kN/m	C <sub>Rd,c</sub>	k	A <sub>s,x</sub> cm <sup>2</sup>	A <sub>s,y</sub> cm <sup>2</sup>	ρ <sub>I</sub>	V <sub>rd,c</sub> kN/m	Laje Aligeirada?	V <sub>rd</sub> kN/m	Verif.
110.0	0.12	1.99	3.93	3.93	0.002	110.1	Não	110.1	✓
110.0	0.12	1.99	7.85	7.85	0.004	110.4	Não	110.4	✓
110.0	0.12	1.99	13.98	13.98	0.007	133.7	Não	133.7	✓

A laje apresenta um bom comportamento ao esforço transverso nas zonas de suporte contínuo, com valores de resforno resistente superiores aos atuantes.

### 8.2.3.3 Estados Limites de Utilização – Lajes

Revativamente à verificação da fendilhação, apresentam-se nas figuras seguintes momentos obidos para a Combinação Quase Permanente (CQP).

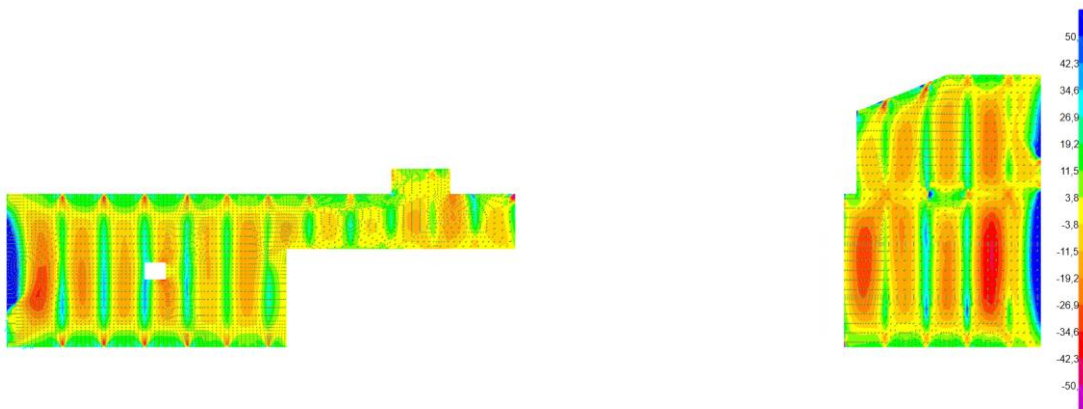


Figura 35 – Momento M11 [kNm/m] (Armadura na direção x-x) – QP – Laje do mezanino

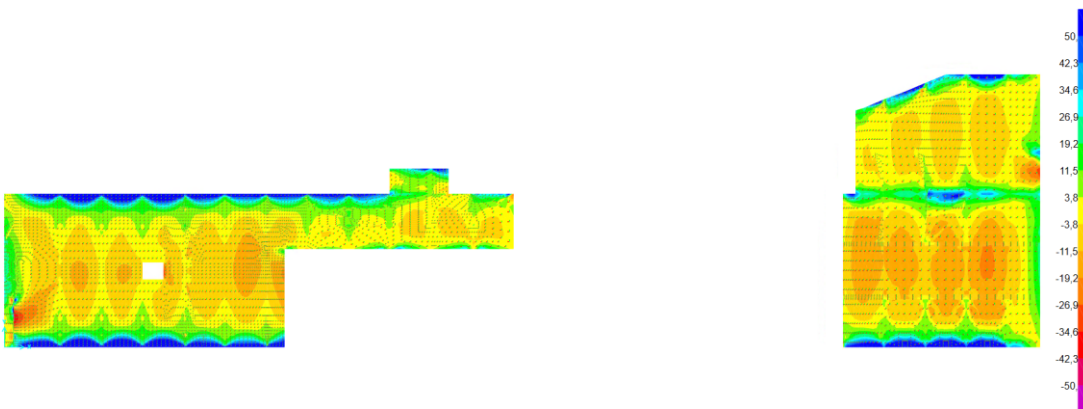


Figura 36 – Momento M22 [kNm/m] (Armadura na direção y-y) – QP – Laje do mezanino

A verificação da abertura de fendas segundo a NP EN 1992 para os casos mais condicionais é apresentada no quadro seguinte.

Tabela 19 – Verificação da fissuração

M <sub>QP</sub> [kNm]	b [m]	h [m]	Φeq.	A <sub>s,trac</sub> [cm <sup>2</sup> ]	σ <sub>sd</sub> [MPa]	S <sub>r,max</sub> [mm]	ε <sub>sm-ε<sub>c</sub>m</sub> [-]	w <sub>k</sub> [mm]
55	1	0.25	12	13.98	208.04	0.256	0.00071	0.182

Apresenta-se na figura sente a deformada vertical da laje prevista a longo prazo para a Combinação Quase Permanente de ações (CQP).

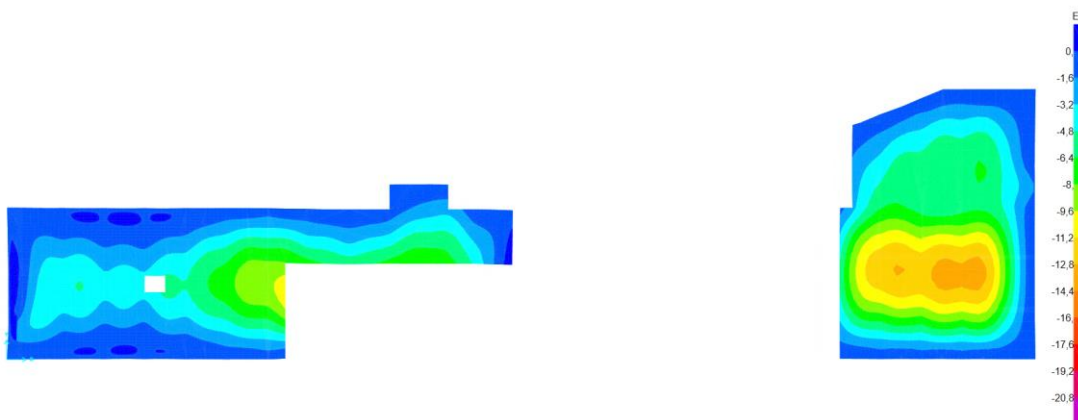
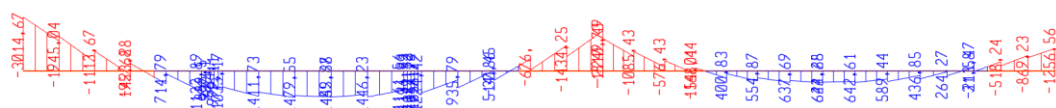


Figura 37 – Deformada em regime elástico

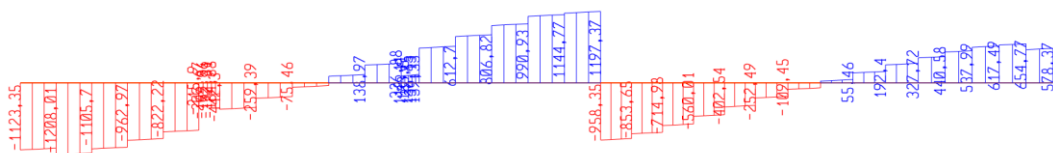
A longo prazo, estima-se que a deformada na zona mais condicionante do mezanino atinja valores máximos na ordem dos 59 mm sendo estes inferiores ao limite regulamentar de L/250 (75mm).

### 8.2.3.4 Estados Limites Últimos – Vigas

A determinação dos esforços nas vigas foi feita a partir do modelo de cálculo. Os valores dos esforços para a viga mais condicionante do piso do átrio, para os Estados Limites Últimos (ELU), são os apresentados nas figuras seguintes.



**Figura 38 – Momento  $M_y$  [kNm] – ELU – Viga mais condicionante 0.60x1.20 m do Mezanino**



**Figura 39 – Esforço Transverso  $F_z$  [kN] – ELU – Viga mais condicionante 0.60x1.20 m do Mezanino**

Na tabela seguinte apresenta-se a verificação aos Estados Limites Últimos à Flexão e aos Estados Limites Últimos de Esforço Transverso para estes elementos.

**Tabela 20 – Verificação da segurança aos ELU Flexão – Cálculo de Armaduras**

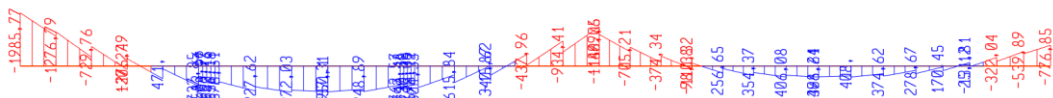
MOMENTO FLETOR														
ESFORÇOS ATUANTES					ESFORÇOS RESISTENTES									Verif.
Caso	$M_{sd}$ kNm	$\mu$	$\omega$	$A_s$ , requerida $cm^2$	Armadura			$A_s$ $cm^2$	$\rho_i$	$d$ m	$\omega$	$\mu$	$k$	
M-	2900	0.181	0.201	64.22	Sup.	8	Ø 32	+ 0	Ø 12	64.34	0.009	1.13	0.202	0.181 0.252 2905 ✓
M+	1500	0.094	0.099	31.42	Inf.	7	Ø 25	+ 0	Ø 16	34.36	0.005	1.14	0.108	0.102 0.135 1633 ✓

**Tabela 21 – Verificação da segurança aos ELU Corte – Cálculo de Armaduras**

ESFORÇO TRANSVERSO										
$V_{sd}$ kN	$\Theta$ °	$A_{sw,req}/s$ $cm^2/m$	$V_{rd,máx}$ kN	$\rho_{w,min}$ –	Armadura		$A_{sw}/s$ $cm^2/m$	nº estribos	$V_{rd}$ kN/m	Verif.
1200.0	30	15.33	2851.9	0.0009	Ø 10	//	0.20	3.93	4	1230 ✓

### 8.2.3.5 Estados Limites Utilização – Vigas

Relativamente à verificação da fendilhação, apresentam-se na figura seguinte momentos obtidos para a Combinação Quase Permanentes (CQP).



**Figura 40 – Momento  $M_y$  [kNm] – QP – Viga mais condicionante 0.60x1.20 m do Mezanino**

A verificação da abertura de fendas seguindo a NP EN 1992 é apresentada no quadro seguinte.

**Tabela 22 – Verificação da fissuração**

<b><math>M_{Qp}</math></b> [kNm]	<b>b</b> [m]	<b>h</b> [m]	<b><math>\Phi_{eq.}</math></b>	<b><math>A_{s,trac}</math></b> [cm <sup>2</sup> ]	<b><math>\sigma_{sd}</math></b> [MPa]	<b><math>S_r,max</math></b> [mm]	<b><math>\varepsilon_{sm}-\varepsilon_{cm}</math></b> [-]	<b>wk</b> [mm]
1990	0.6	1.2	32	64.34	297.99	0.221	0.00136	0.301

Tal como referido no capítulo da laje, a deformada é analisada no seu conjunto laje/vigas e foi exposto nesse capítulo, na qual todos os limites regulamentares são verificados.

### 8.2.3.6 Estados Limites Utilização – Pré-esforço

Pretende-se, com o pré-esforço, equilibrar a carga atuante na Combinação Quase Permanente (CQP), garantindo assim que se anula a deformada na fase provisória (para esta combinação).

**Tabela 23 – Avaliação do pré-esforço**

<b>pplaje</b> kN/m	<b>ppviga</b> kN/m	<b>ppterrass</b> kN/m	<b>scprov</b> kN/m	<b>qtotal</b> kN/m	<b>Rmin</b> m	<b>Fpe</b> kN	<b>nº cordões</b> un	<b>Fpe,cordao</b> kN
23.0	27.0	156.2	15.8	222.0	14.5	5434.9	34.0	159.9

Tal como referido no capítulo da laje, para a fase definitiva, a deformada é analisada no seu conjunto laje/vigas e foi exposto, nesse capítulo, as verificações para todos os limites regulamentares. Na fase provisória, o pré-esforço irá garantir o bom comportamento desta parte da estrutura dada a limitação ao nível dos apoios.

## 8.2.4 Paredes de contenção periférica

### 8.2.4.1 Geometria

As paredes periféricas, com uma espessura de 0.80 m, irão conter os impulsos dos terrenos vizinhos, a longo prazo, assim como sustar os impulsos provocados pela água no tardoz. Têm também como função estrutural o apoio das lajes e das vigas dos vários pisos. As paredes terão uma altura total de aproximadamente 19m, e ficarão travadas horizontalmente ao nível dos pisos.

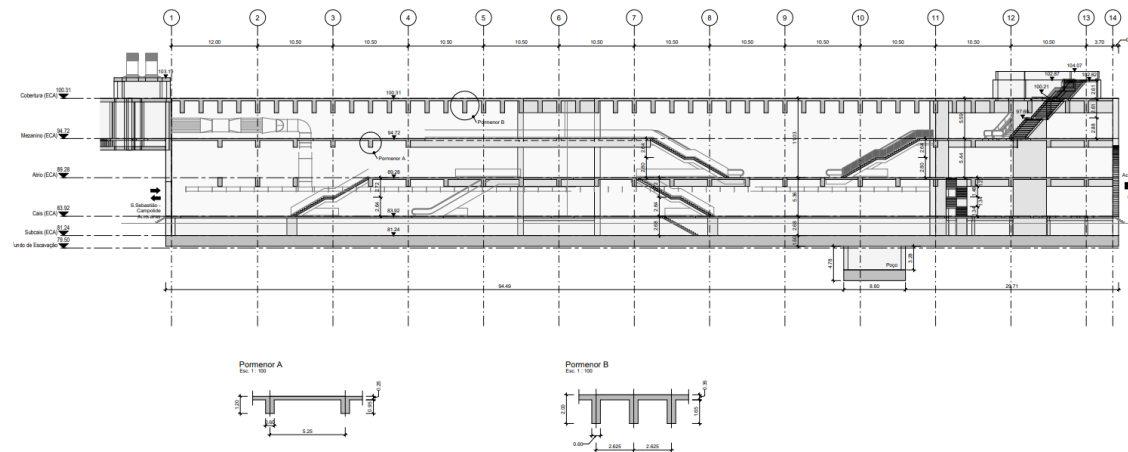
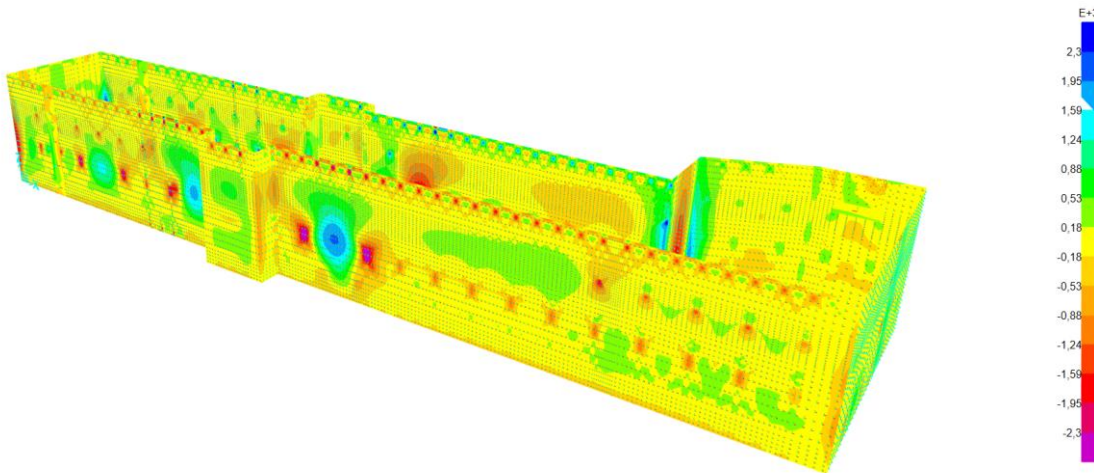


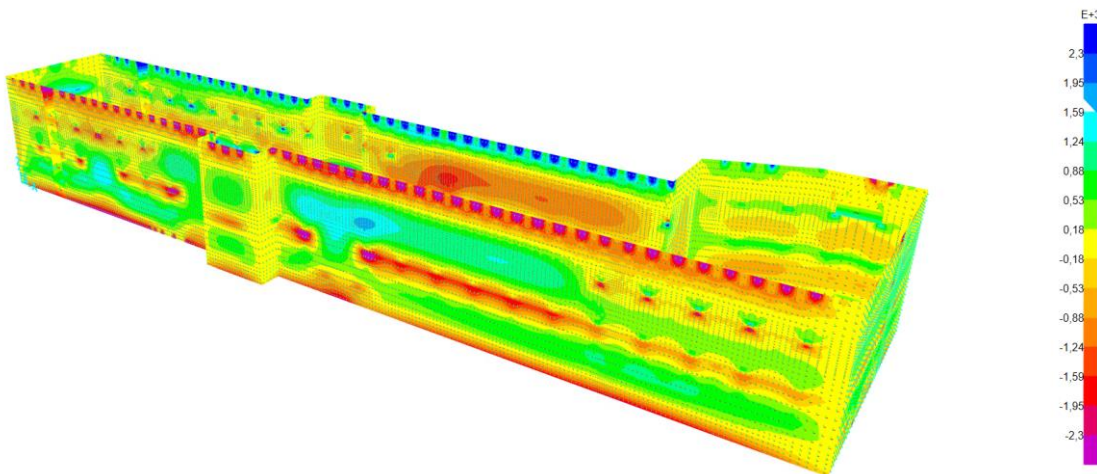
Figura 41 – Alçado geral da estrutura do corpo da estação

### 8.2.4.2 Estados Limites Últimos

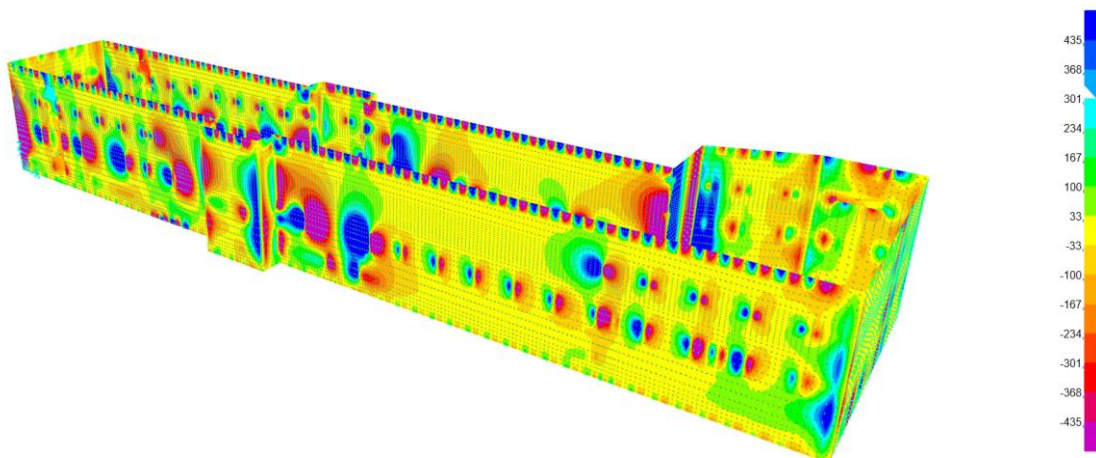
Os valores dos esforços dos elementos shell para os estados limites últimos (ELU) são os apresentados nas figuras seguintes. Os esforços de compressão e tração no plano da laje são desprezáveis pelo que não são apresentados.



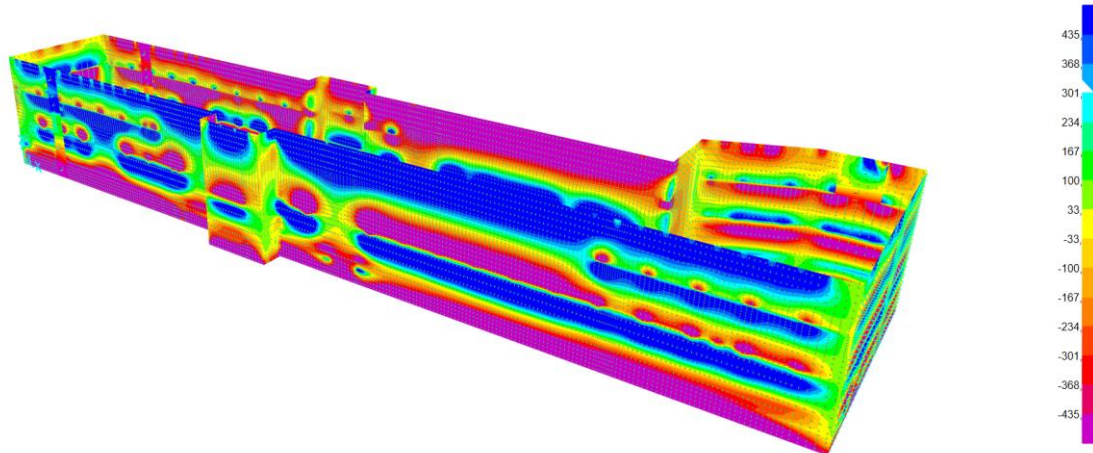
**Figura 42 – Momento M11 [kNm/m] (Armadura na horizontal) – ULS – Paredes periféricas**



**Figura 43 – Momento M22 [kNm/m] (Armadura na direção z-z, vertical) – ULS – Paredes periféricas**



**Figura 44 – Esforço Transverso na direção horizontal – ULS – [kN/m] – Paredes periféricas**



**Figura 45 – Esforço Transverso z-z, vertical – ULS – [kN/m] – Paredes periféricas**

Na tabela seguinte apresenta-se a verificação aos estados limites últimos à flexão e aos estados limites de esforço transverso para estes elementos.

**Tabela 24 – Verificação da segurança aos ELU Flexão Composta – Cálculo de Armaduras**

MOMENTO FLETOR												Verif.	
ESFORÇOS ATUANTES			ESFORÇOS RESISTENTES									Verif.	
M <sub>sd</sub> kNm/m	μ	ω	A <sub>s,requerida</sub> cm <sup>2</sup> /m	Armadura adotada		A <sub>s</sub> cm <sup>2</sup> /m	ρ <sub>i</sub>	d m	ω	μ	k	M <sub>rd</sub> kNm/m	
700	0.061	0.063	22.02	Sup./Inf. Ø 25	// Ø 20 + Ø 16	24.54	0.003	0.74	0.071	0.068	0.088	777	✓
1000	0.088	0.092	31.93	Sup./Inf. Ø 25	// Ø 20 + Ø 16 // Ø 20	34.60	0.004	0.74	0.100	0.095	0.125	1079	✓
2300	0.202	0.228	79.07	Sup./Inf. Ø 32	// Ø 20 + Ø 32 // Ø 20	80.42	0.010	0.74	0.232	0.205	0.289	2334	✓

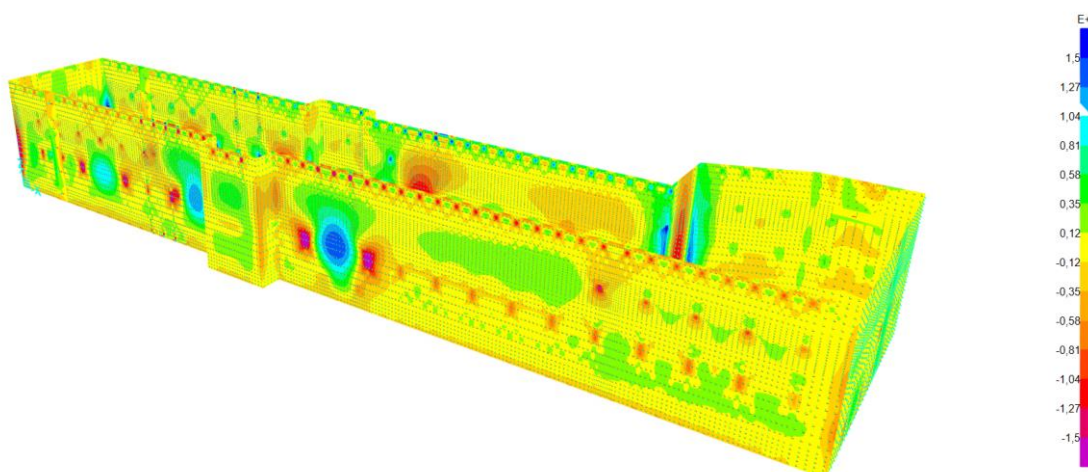
**Tabela 25 – Verificação da segurança aos ELU Corte – Resistente sem armadura de esforço transverso**

ESFORÇO TRANSVERSO									
V <sub>sd</sub> kN/m	C <sub>Rd,c</sub>	k	A <sub>s,x</sub> cm <sup>2</sup>	A <sub>s,y</sub> cm <sup>2</sup>	ρ <sub>i</sub>	V <sub>rd,c</sub> kN/m	Laje Aligeirada?	V <sub>rd</sub> kN/m	Verif.
290.0	0.12	1.51	24.54	24.54	0.003	293.2	Não	293.2	✓
320.0	0.12	1.51	34.60	34.60	0.005	328.7	Não	328.7	✓
430.0	0.12	1.51	80.42	80.42	0.011	435.5	Não	435.5	✓

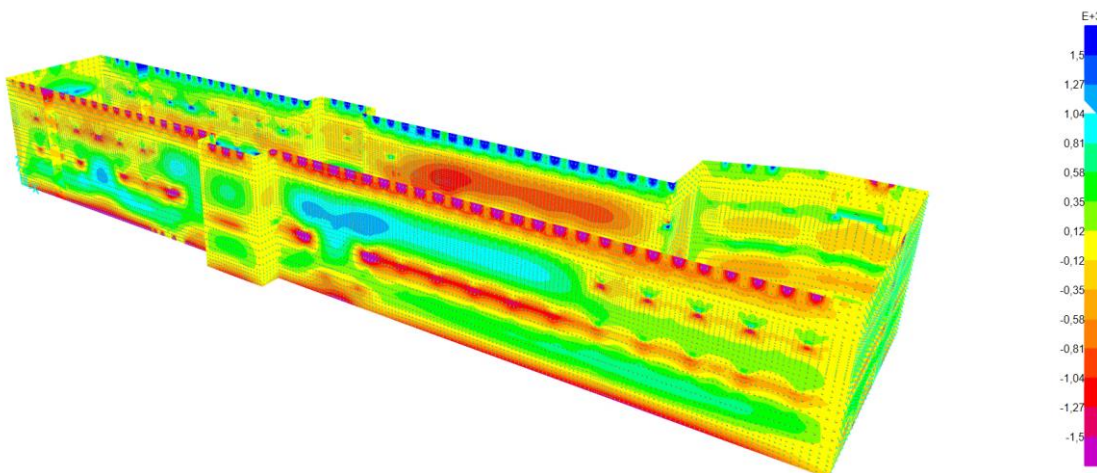
Nas zonas de suporte continuo, onde existem as lajes dos pisos, o esforço transverso atuante ultrapassa o valor resistente, deste modo previu-se um reforço, nestas zonas, com armadura de esforço transverso 6RØ12//0.20/m.

### 8.2.4.3 Estados Limites de Utilização

Reativamente à verificação da fendilhação, apresentam-se nas figuras seguintes momentos obidos para a Combinação Quase Permanete (CQP).



**Figura 46 – Momento M11 [kNm/m] (Armadura na horizontal) – QP – Paredes periféricas**



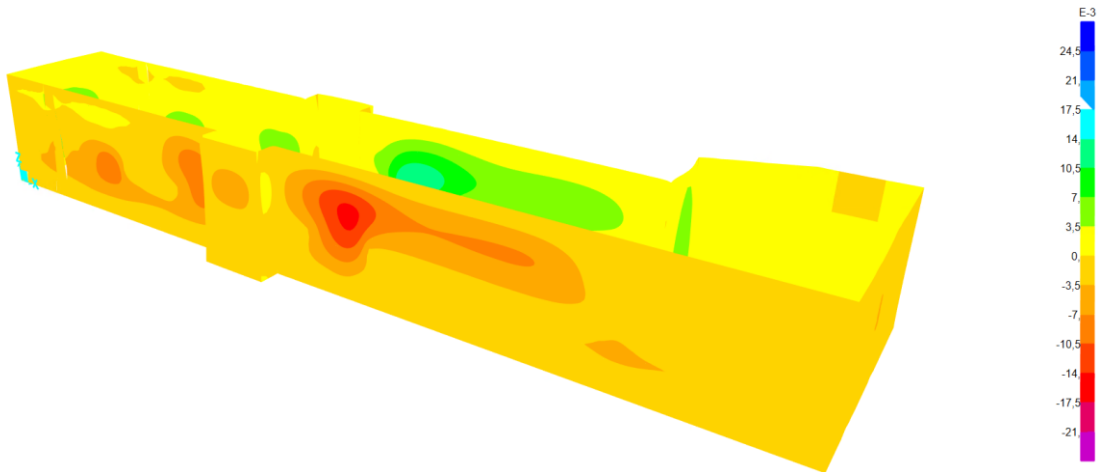
**Figura 47 – Momento M22 [kNm/m] (Armadura na direção z-z, vertical) – QP – Paredes periféricas**

A verificação da abertura de fendas segundo a NP EN 1992 para o máximo momento.

**Tabela 26 – Verificação da fissuração**

M <sub>QP</sub> [kNm]	b [m]	h [m]	Φ <sub>eq.</sub> [mm]	A <sub>s,trac</sub> [cm <sup>2</sup> ]	σ <sub>sd</sub> [MPa]	S <sub>r,max</sub> [mm]	ε <sub>sm</sub> -ε <sub>cm</sub> [-]	w <sub>k</sub> [mm]
1200	1	0.8	32	80.42	226.96	0.229	0.00102	0.233

Apresenta-se na figura sente a deformada vertical da laje prevista a longo prazo para a Combinação Quase Permanente de ações (CQP).

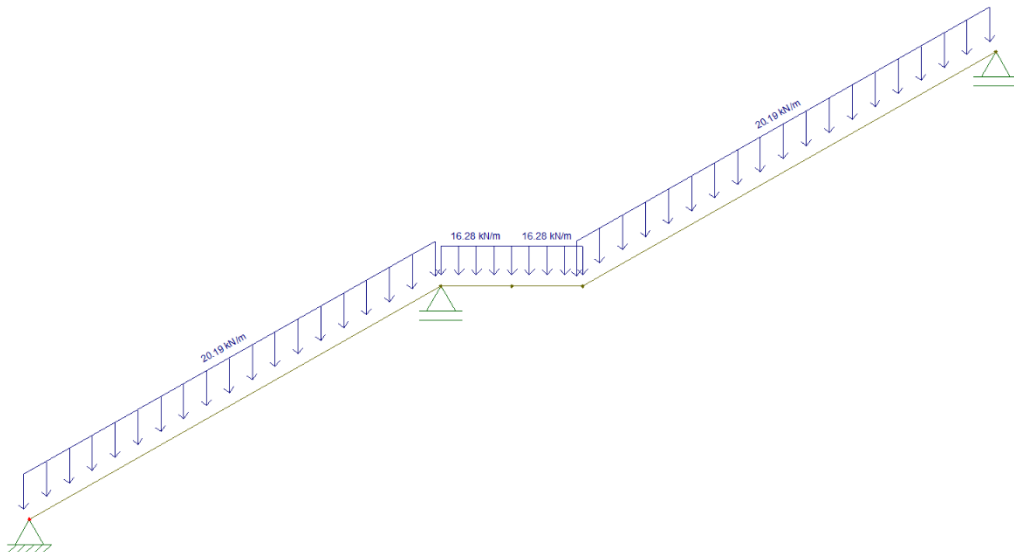


**Figura 48 – Deformada em regime elástico**

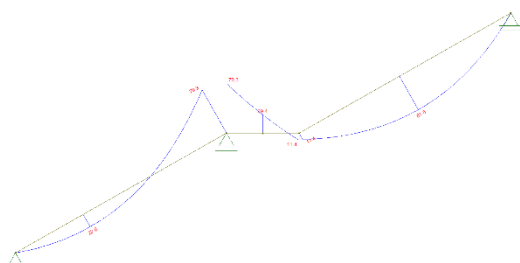
Estima-se, a longo prazo, que o deslocamento máximo seja na ordem dos 40.5mm, encontra-se, assim, inferior ao limite regulamentar de  $L/250 = 44\text{mm}$ .

### **8.2.5 Escadas**

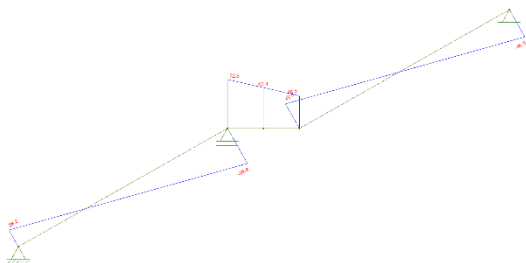
As escadas desempenham um papel crucial na ligação vertical entre os diferentes pavimentos da edificação, servindo como vias de circulação primária e como rota de fuga em casos de emergência. A conceção estrutural das escadas teve como base a análise das cargas verticais a que estarão sujeitas.



**Figura 49 Modelo 2D – Escadas E03**



**Figura 50 Diagrama de Momento Fletor**



**Figura 51 Diagrama de Esforço Transverso**

**Tabela 27 Verificação de segurança das escadas E03**

Elemento	$M_{sd}$ kNm/m	Momento fletor reduzido $\mu$	Armadura adoptada	$A_s$ [cm <sup>2</sup> /m]	$M_{rd}$ [kNm/m]	$M_{sd}/M_{rd}$	$A_{s,min}$ [cm <sup>2</sup> /m]
E03	62.00	0.1211	$\emptyset 12//0.10$	11.31	70.81	88%	2.41
	79.00	0.1543	$\emptyset 12//0.20+\emptyset 16//0.20$	15.71	98.35	80%	2.41

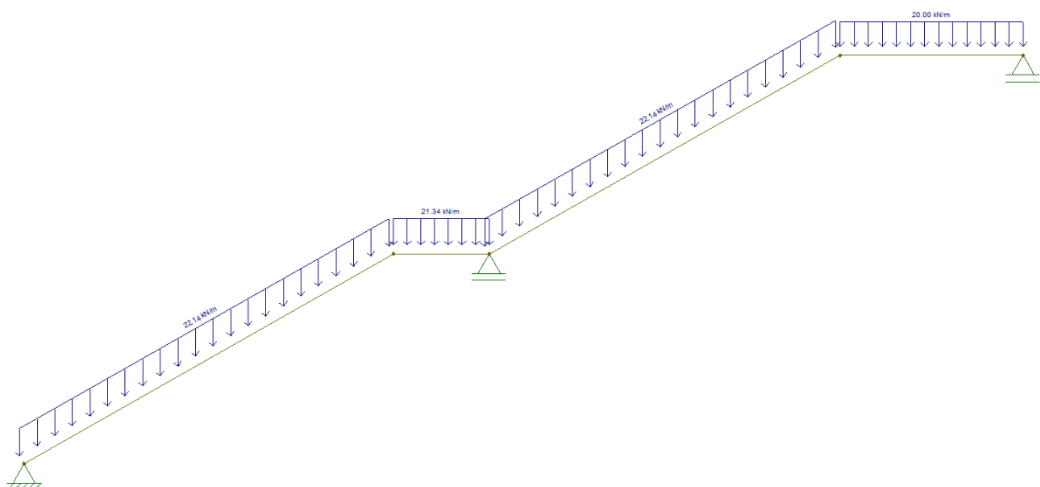


Figura 52 Modelo 2D – Escadas E05

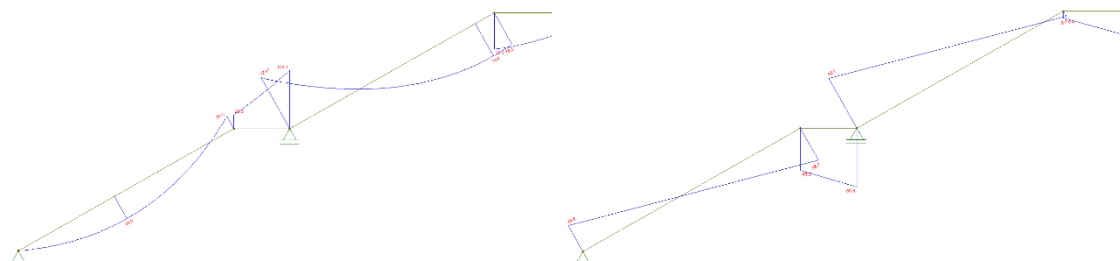
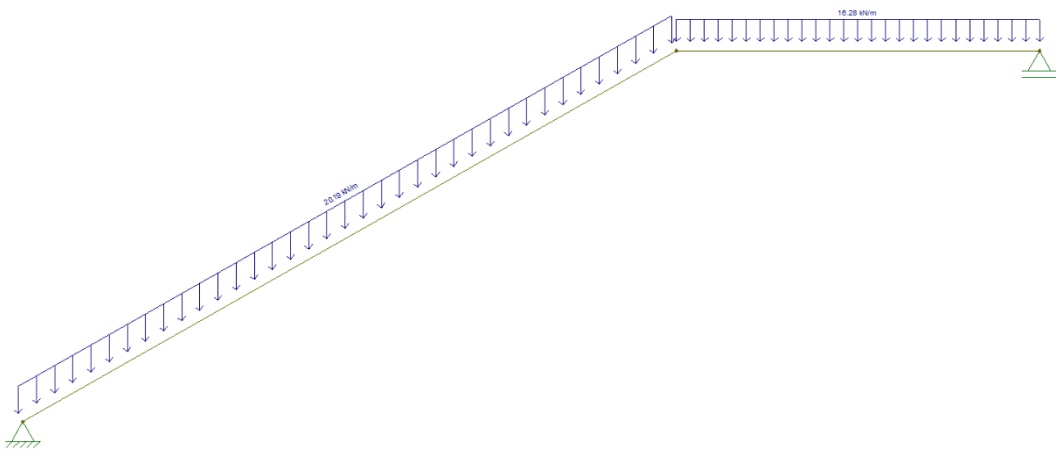


Figura 53 Diagrama de Momento Fletor

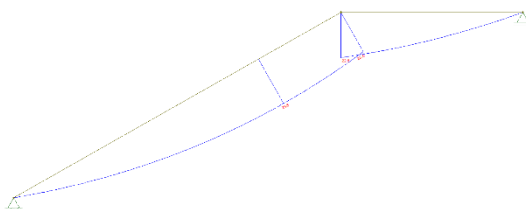
Figura 54 Diagrama de Esforço Transverso

Tabela 28 Verificação de segurança das escadas E05

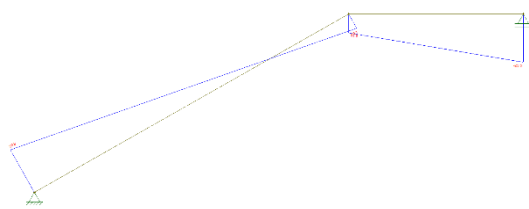
Elemento	$M_{sd}$ kNm/m	Momento fletor reduzido $\mu$	Armadura adoptada	$A_s$ [cm <sup>2</sup> /m]	$M_{rd}$ [kNm/m]	$M_{sd}/M_{rd}$	$A_{s,min}$ [cm <sup>2</sup> /m]
E05	78.50	0.089	$\emptyset 12//0.10$	11.31	92.94	84%	3.17
	123.00	0.139	$\emptyset 12//0.20+\emptyset 16//0.20$	15.71	129.08	95%	3.17



**Figura 55 Modelo 2D – Escadas E07**



**Figura 56 Diagrama de Momento Fletor**



**Figura 57 Diagrama de Esforço Transverso**

**Tabela 29 Verificação de segurança das escadas E07**

Elemento	$M_{sd}$ kNm/m	Momento fletor reduzido $\mu$	Armadura adoptada	$A_s$ [cm <sup>2</sup> /m]	$M_{rd}$ [kNm/m]	$M_{sd}/M_{rd}$	$A_{s,min}$ [cm <sup>2</sup> /m]
E07	26.00	0.0508	$\emptyset 12//0.20$	5.65	35.40	73%	2.41

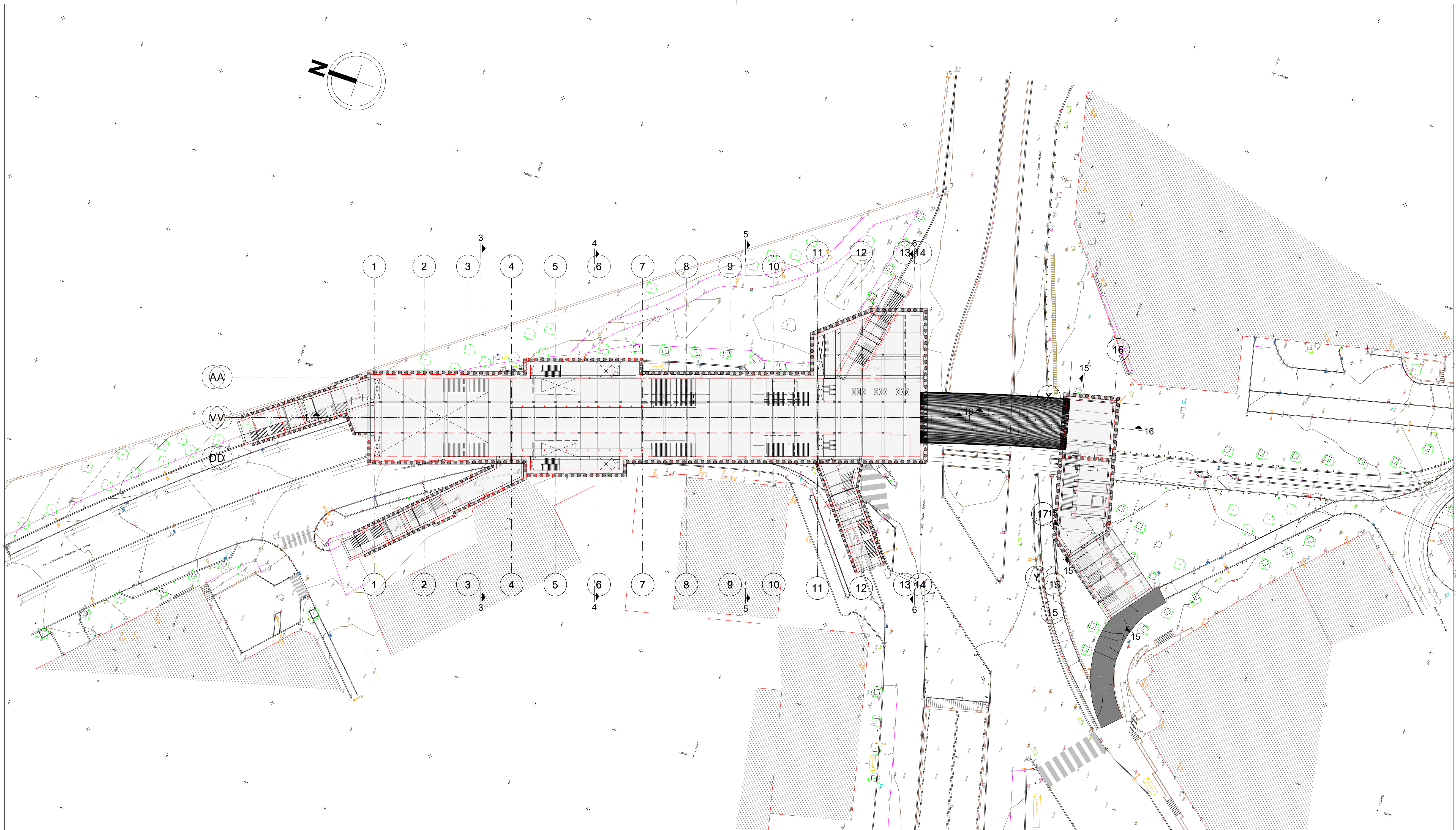


Metropolitano de Lisboa

# MEMÓRIA DESCRIPTIVA ESTRUTURAS DEFINITIVAS



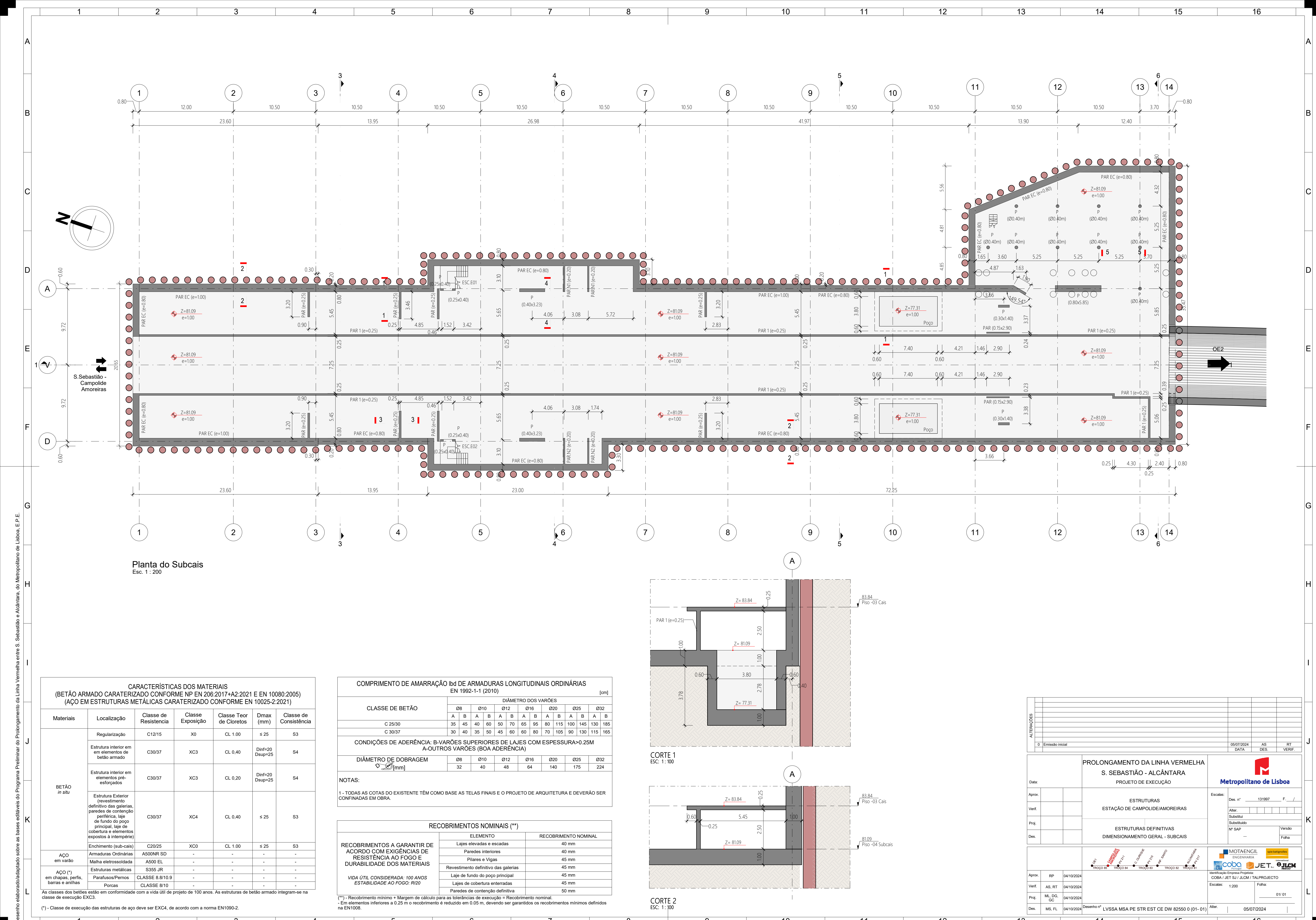
## Registo e Controlo de Alterações

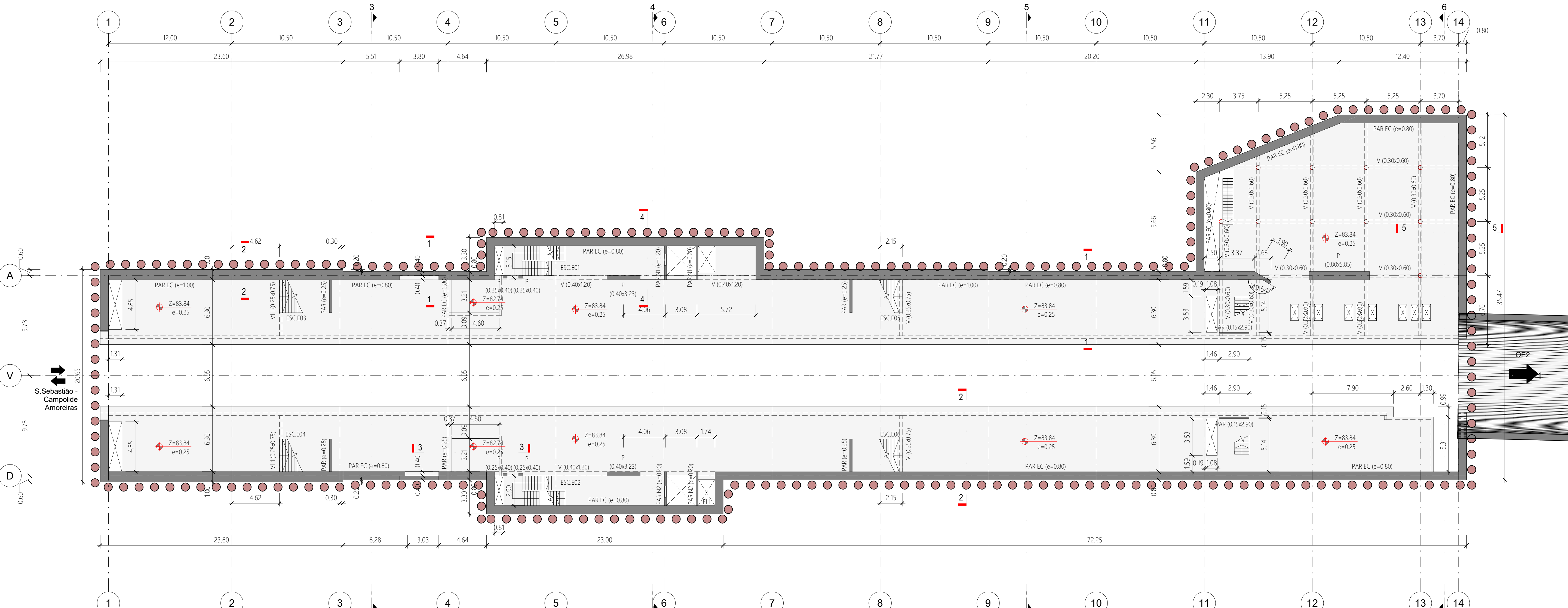


# Planta de Implantação

CARACTERÍSTICAS DOS MATERIAIS (BETÃO ARMADO CARATERIZADO CONFORME NP EN 206:2017+A2:2021 E EN 10080:2005) (AÇO EM ESTRUTURAS METÁLICAS CARATERIZADO CONFORME EN 10025-2:2021)						
Materiais	Localização	Classe de Resistencia	Classe Exposição	Classe Teor de Cloretos	Dmax (mm)	Classe de Consistência
BETÃO <i>in situ</i>	Regularização	C12/15	X0	CL 1.00	≤ 25	S3
	Estrutura interior em elementos de betão armado	C30/37	XC3	CL 0,40	Dinf=20 Dsup=25	S4
	Estrutura interior em elementos pré-esforçados	C30/37	XC3	CL 0,20	Dinf=20 Dsup=25	S4
	Estrutura Exterior (revestimento definitivo das galerias, paredes de contenção periférica, laje de fundo do poço principal, laje de cobertura e elementos expostos à intempéria)	C30/37	XC4	CL 0,40	≤ 25	S3
	Enchimento (sub-cais)	C20/25	XC0	CL 1.00	≤ 25	S3
AÇO em varão	Armaduras Ordinárias	A500NR SD	-	-	-	-
	Malha eletrossoldada	A500 EL	-	-	-	-
AÇO (*) em chapas, perfis, barras e anilhas	Estruturas metálicas	S355 JR	-	-	-	-
	Parafusos/Pernos	CLASSE 8.8/10.9	-	-	-	-
	Porcas	CLASSE 8/10	-	-	-	-

ALTERAÇÕES							
0	Emissão inicial			05/07/2024	AS	RT	
				DATA	DES.	VERIF.	
		<b>PROLONGAMENTO DA LINHA VERMELHA</b> <b>S. SEBASTIÃO - ALCÂNTARA</b> <b>PROJETO DE EXECUÇÃO</b>				 <b>Metropolitano de Lisboa</b>	
Data:							
Aprov.						Escalas:	
Verif.						Des. n° 131996 F. /	
Proj.						Alter.	
Des.						Substitui	
						Substituído	
						Nº SAP — Versão	
						Folha	
		<b>ESTRUTURAS</b> <b>ESTAÇÃO DE CAMPOLIDE/AMOREIRAS</b>					
		<b>ESTRUTURAS DEFINITIVAS</b> <b>DIMENSIONAMENTO GERAL - IMPLANTAÇÃO</b>					
						   	
Aprov.	RP	04/10/2024					Identificação Empresa Projetista: COBA / JET SJ / JLJC / TALPROJECTO
Verif.	AS, RT	04/10/2024					Escalas: 1:500 Folha: 01/01
Proj.	ML, DG, GC	04/10/2024					
Des.	MS, FL	04/10/2024	Desenho nº LVSSA MSA PE STR EST CE DW 82500 0 (01-01)				Alter. 05/07/2024





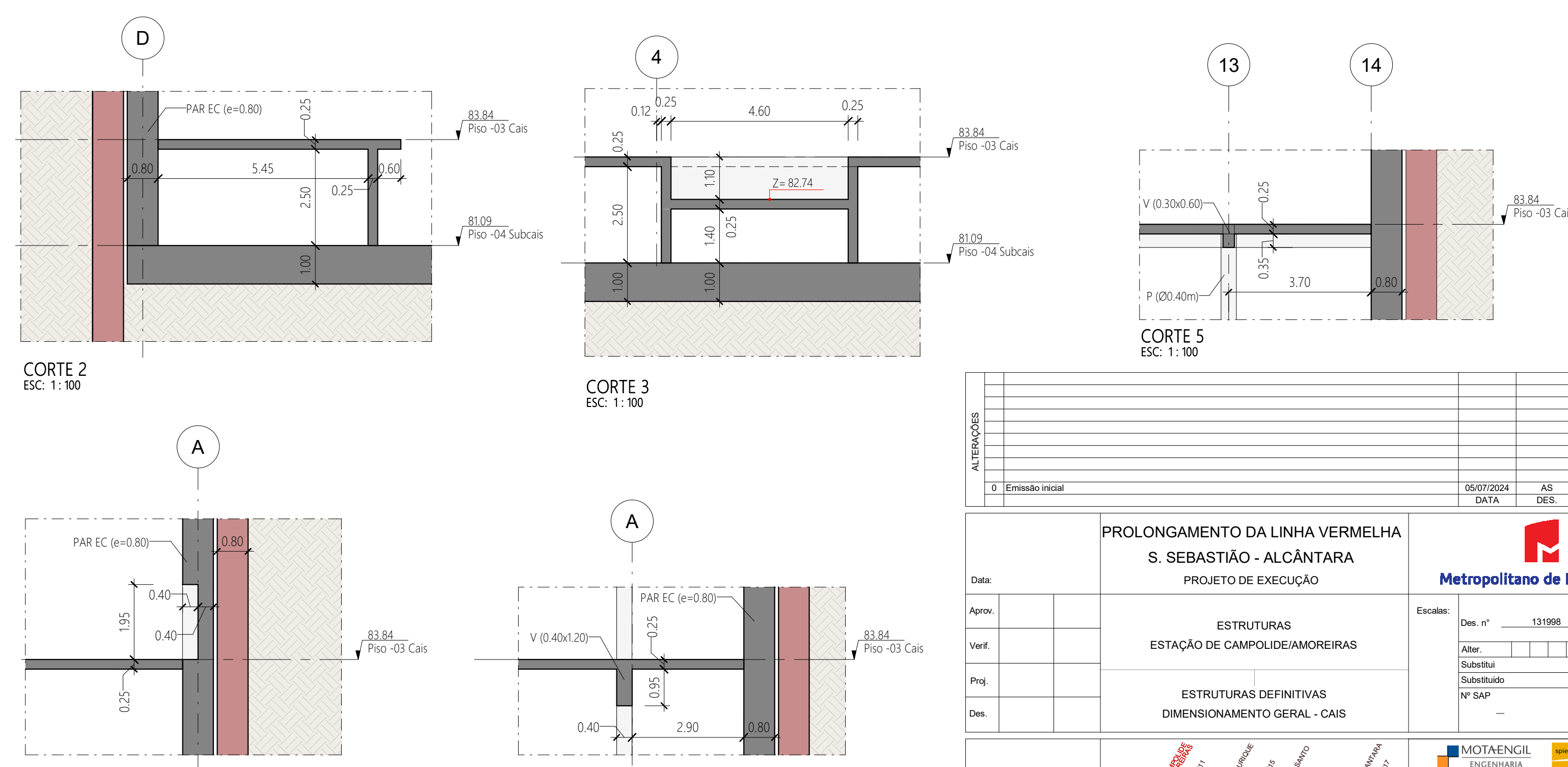
Planta do Cais  
Esc. 1 : 200

CARACTERÍSTICAS DOS MATERIAIS (BETÃO ARMADO CARATERIZADO CONFORME NP EN 206:2017+A2:2021 E EN 10080:2005) (AÇO EM ESTRUTURAS METÁLICAS CARATERIZADO CONFORME EN 10025-2:2021)						
Materiais	Localização	Classe de Resistencia	Classe Exposição	Classe Teor de Cloretos	Dmax (mm)	Classe de Consistência
BETÃO <i>in situ</i>	Regularização	C12/15	X0	CL 1.00	≤ 25	S3
	Estrutura interior em elementos de betão armado	C30/37	XC3	CL 0,40	Dinf=20 Dsup=25	S4
	Estrutura interior em elementos pré-esforçados	C30/37	XC3	CL 0,20	Dinf=20 Dsup=25	S4
	Estrutura Exterior (revestimento definitivo das galerias, paredes de contenção periférica, laje de fundo do poço principal, laje de cobertura e elementos expostos à intempéria)	C30/37	XC4	CL 0,40	≤ 25	S3
	Enchimento (sub-cais)	C20/25	XC0	CL 1.00	≤ 25	S3
	Armaduras Ordinárias	A500NR SD				

AÇO (*) em chapas, perfis, arras e anilhas	Struturas metálicas	CCCC JR				
	Parafusos/Pernos	CLASSE 8.8/10.9	-	-	-	-
	Porcas	CLASSE 8/10	-	-	-	-

COMPRIMENTO DE AMARRAÇÃO lbd DE ARMADURAS LONGITUDINAIS ORDINÁRIAS EN 1992-1-1 (2010)																						
CLASSE DE BETÃO	DIÂMETRO DOS VARÕES																					
	Ø8		Ø10		Ø12		Ø16		Ø20		Ø25											
	A	B	A	B	A	B	A	B	A	B	A	B										
	C 25/30	35	45	40	60	50	70	65	95	80	115	100										
C 30/37	30	40	35	50	45	60	60	80	70	105	90	130										
CONDIÇÕES DE ADERÊNCIA: B-VARÕES SUPERIORES DE LAJES COM ESPESSURA>0.25M A-OUTROS VARÕES (BOA ADERÊNCIA)																						
DIÂMETRO DE DOBRAGEM  [mm]		Ø8		Ø10		Ø12		Ø16		Ø20		Ø25										
		32		40		48		64		140		175										
NOTAS:																						
1 - TODAS AS COTAS DO EXISTENTE TÊM COMO BASE AS TELAS FINAIS E O PROJETO DE ARQUITETURA E DEVERÃO SER CONFINADAS EM OBRA.																						
RECOBRIMENTOS NOMINAIS (**)																						
RECOBRIMENTOS A GARANTIR DE ACORDO COM EXIGÊNCIAS DE RESISTÊNCIA AO FOGO E DURABILIDADE DOS MATERIAIS	ELEMENTO						RECOBRIMENTO NOMINAL															
	Lajes elevadas e escadas						40 mm															
	Paredes interiores						40 mm															
	Pilares e Vigas						45 mm															
	Revestimento definitivo das galerias						45 mm															
	Laje de fundo do poço principal						45 mm															
	Lajes de cobertura enterradas						45 mm															

(\*\*) - Recobrimento mínimo + Margem de cálculo para as tolerâncias de execução = Recobrimento nominal.  
- Em elementos inferiores a 0.25 m o recobrimento é reduzido em 0.05 m, devendo ser garantidos os recobrimentos mínimos.



Emissão inicial		05/07/2024	AS	RT				
		DATA	DES	VERIF.				

**PROLONGAMENTO DA LINHA VERMELHA**

**PROLONGAMENTO DA LINHA VERMELHA  
S. SEBASTIÃO - AL CÂNTARA**

PROJETO DE EXECUÇÃO Metropolitano de Lisboa

**ESTRUCTURAS** Escalas: Des. n° 131998 F. /

**ESTRUTURAS**  
**ESTAÇÃO DE CAMPOLIDE/AMOREIRAS**


	ESTRUTURAS DEFINITIVAS	Nº SAP	Versão
	DIMENSIONAMENTO GERAL - CAIS	—	Folha

MOTA-ENCIIL | sociétés familiales

TROÇO 85 TROÇO 84 TROÇO 83 TROÇO 82 TROÇO 81



CUBA / JET SJ / JLCM / TALF PROJECTO

ML, DG, GC	04/10/2024			01/ 01
---------------	------------	--	--	--------

MS, FL	04/10/2024	Desenho nº LVSSA MSA PE STR EST CE DW 82551 0 (01-01)	Alter.	05/07/2024	
--------	------------	---	--------	------------	--

